

Наблюдалась также зависимость величины изменения оптических констант от состава пленок ХСП. Измерения показали, что наиболее чувствительными являются пленки составов  $As_{40}S_{60}$  и  $As_{44}S_{56}$ . Это, по-видимому, объясняется тем, что связи типа As—As создают локализованные антисвязывающие состояния в запрещенной зоне халькогенов [5]. В ХСП с избытком мышьяка вклад таких локализованных состояний увеличивается. Это приводит к возрастанию числа актов локализации носителей при их возбуждении электронным облучением из валентной зоны, что обусловливает проявление электронно-стимулированных изменений оптических свойств в пленках с более высоким содержанием мышьяка.

В результате проведенных исследований:  
обнаружен эффект подобия механизмов фото- и электронно-стимулированных воздействий;  
изучены зависимости величины изменений оптических констант от дозы электронного облучения и состава образцов.

Полученные результаты позволяют прогнозировать поведение элементов ИО-схем, сформированных в пленках ХСП, в радиационных условиях.

#### ЛИТЕРАТУРА

1. Сарсембинон Ш. Ш., Абдулгафаров Е. Е. Электронно-стимулированное изменение оптических свойств халькогенидных стеклообразных полупроводников // Изв. АН КазССР. Сер. физ.-мат.— 1980.— № 6.
2. Гуральник Р. М., Мамонтова Т. И., Муканов Х. К., Сарсембинон Ш. Ш. Электронно-стимулированные изменения фотолюминесценции в стеклообразном  $As_2S_3$  // Автометрия.— 1987.— № 1.
3. Сарсембинон Ш. Ш., Мамонтова Т. И., Гуральник Р. М., Муканов Х. К. Электронно-стимулированные изменения спектров фотолюминесценции стеклообразных полупроводниковых систем  $As-S$ ,  $As-Se$  // ФТТ.— 1984.— Т. 26, вып. 12.
4. Phillips J. C. Topological model for non-radiative carrier decay in chalcogenide alloy glasses // J. Non-Cryst. Sol.— 1980.— V. 41, N 1.— P. 179.
5. Бродски М. Аморфные полупроводники.— М.: Мир, 1982.

Поступила в редакцию 20 ноября 1987 г.

УДК 535.8.666.189.2.666.11 : 621.039.533

А. Я. ВИНОКУРОВ, А. Н. ГАРКАВЕНКО, Л. И. ЛИТИНСКАЯ,  
А. В. МИРОНОС, А. М. РОДИН  
(Москва)

#### ВЛИЯНИЕ РАДИАЦИОННОГО ВОЗДЕЙСТВИЯ НА ОПТИЧЕСКИЕ СВОЙСТВА ХСП-ВОЛОКОН

В последние времена возросло количество работ, посвященных исследованию волоконных световодов среднего ИК-диапазона на основе халькогенидных стеклообразных полупроводников (ХСП). Интерес к ним обусловлен принципиальной возможностью получения световодов с потерями  $10^{-1}$ — $10^{-2}$  дБ/км [1]. К тому же в этой области спектра имеются перспективные лазеры ( $CO$ ,  $CO_2$ , химические), причем плотность мощности излучения, передаваемого по ХСП-световодам, может достигать 2 кВт/см<sup>2</sup> [2].

В связи с открывающимися перспективами использования ХСП-волокон в системах передачи и обработки информации возникает необходимость изучения их устойчивости по отношению к различного рода внешним воздействиям, в том числе ионизирующему излучению. К настоящему времени сведения о радиационной стойкости ХСП-волокон носят отрывочный характер, практически не изучалось влияние на их оп-

тические свойства воздействия быстрых электронов. Исследования паведенного поглощения ХСП-световодов при облучении тепловыми нейтронами [3, 4] не позволяют оценить диапазон доз, в котором пропускание световодов находится в допустимых (для работоспособности систем на их основе) пределах.

Данная работа посвящена изучению воздействия различных видов ионизирующего излучения на оптические свойства ХСП-волокон. Исследовались образцы волоконных световодов двух типов: из  $\text{As}_2\text{S}_3$  и  $\text{As}_{40}\text{S}_{52}\text{Se}_8$ , изготовленных методом вытягивания из расплава в атмосфере аргона. Диаметр образцов 120 мкм, оболочка отсутствовала.

Изучение морфологии поверхности этих образцов с использованием метода растровой электронной микроскопии показало, что они обладали однородной поверхностью с редкими одночными дефектами технологического происхождения (раковины, полости).

Облучение нейtronами образцов волоконных световодов из  $\text{As}_2\text{S}_3$  и  $\text{As}_{40}\text{S}_{52}\text{Se}_8$  проводилось на ИРТ-2000 МИФИ при плотности потока, равной  $3 \cdot 10^{11}$  нейtron/ $\text{см}^2 \cdot \text{с}$ . При этом интегральный поток, воздействию которого подвергались исследуемые образцы ХСП-волокон, варьировался от  $10^{15}$  до  $10^{18}$  нейtron/ $\text{см}^2$ . Измерения пропускания образцов проводились спустя 3—8 мес после облучения по достижении ими допустимого уровня наведенной активности. Облучение электронами волоконных световодов из  $\text{As}_2\text{S}_3$  осуществлялось на линейном ускорителе РЭЛУС МИФИ. Энергия электронов 3,5 МэВ, плотность потока  $5 \cdot 10^{11}$  электрон/ $\text{см}^2 \cdot \text{с}$ . Поглощенная исследуемыми образцами доза изменялась от  $1 \cdot 10^7$  до  $5 \cdot 10^{11}$  рад. Измерения проводились спустя 20 мин после окончания облучения. С помощью монохроматора МДР-3 в диапазоне длин волн 0,6—2,0 мкм измерялись методом различных длин волокна потери оптического излучения, проходящего через образцы. Эти потери сопоставлялись с характером разрушения поверхности образцов после воздействия ионизирующего излучения.

Спектры потерь необлученных оптических волокон представлены на рис. 1. Минимальные потери для  $\text{As}_2\text{S}_3$  составляют 9 дБ/м в области 0,9—1,5 мкм, для  $\text{As}_{40}\text{S}_{52}\text{Se}_8$  — 30 дБ/м в области 1,2—1,8 мкм. Второй образец при  $\lambda \sim 1,0$  мкм имеет нерезкий пик потерь, по-видимому, связанный с присутствием Se. Увеличение потерь в длинноволновой области спектра обусловлено наличием полос поглощения примесями переходных металлов [5].

После воздействия ионизирующего излучения на световоды измерялись наведенные оптические потери в указанном выше спектральном интервале и определялись край поглощения и состояние поверхности образца.

С ростом дозы облучения наблюдалось уменьшение наклона «хвоста Урбаха» и сдвиг края поглощения в красную область спектра. Край поглощения определялся линейной экстраполяцией «хвоста Урбаха» до уровня оптических потерь 80 дБ/м. Зависимость сдвига от дозы облучения представлена на рис. 2. Видно, что облучение нейtronами приводит к большему сдвигу, чем облучение электронами. Это свидетельствует о том, что нейtronы создают большее число дефектных состояний в запрещенной зоне материала световода, чем электроны. При облучении образцов электронами дозой до  $10^7$  рад и потоком нейtronов до  $10^{15}$  нейtron/ $\text{см}^2$  наведенные потери практически отсутствуют. С ростом дозы облучения увеличиваются наведенные оптические потери в образцах (рис. 3 и 4) примерно с одинаковой скоростью при облучении нейtronами и электронами (при увеличении дозы в 10 раз наведенные потери возрастают в 2—3 раза для обоих типов образцов). При облучении нейtronами возникают два максимума потерь: для  $\text{As}_2\text{S}_3$  на 1,1 и 1,8 мкм, для  $\text{As}_{40}\text{S}_{52}\text{Se}_8$  на 1,2 и 1,7 мкм. При облучении электронами рост наведенных потерь наиболее высок в области 0,8—1,6 мкм. Сильный рост наведенных потерь наблюдается в обоих типах образцов при облучении электронами дозой свыше  $5 \cdot 10^{11}$  рад и потоком нейtronов свыше  $10^{18}$  нейtron/ $\text{см}^2$ .

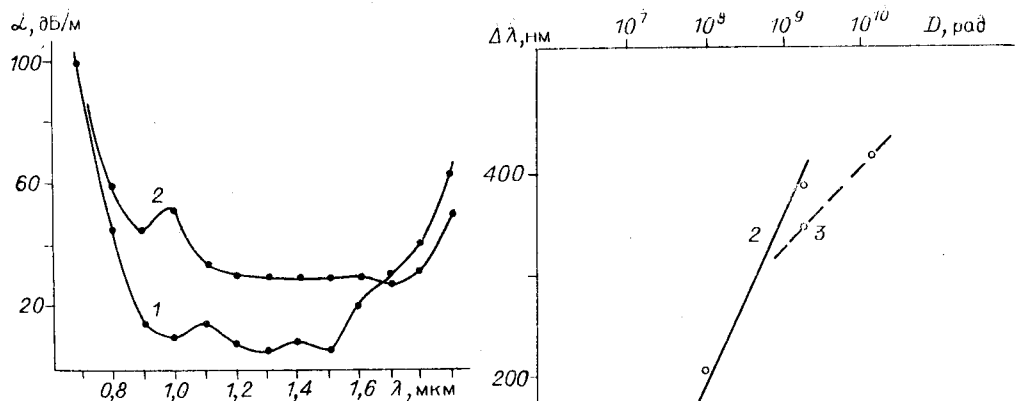


Рис. 1. Спектральная зависимость затухания излучения в необлученных оптических волокнах  $\text{As}_2\text{S}_3$  (кривая 1) и  $\text{As}_{40}\text{S}_{52}\text{Se}_8$  (2)

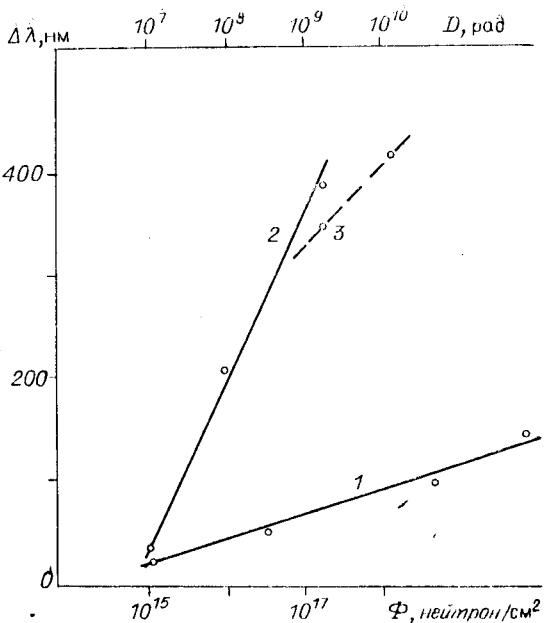


Рис. 2. Сдвиг края поглощения оптических волокон  $\text{As}_2\text{S}_3$ , облученных электронами (1) и нейtronами (2), и  $\text{As}_{40}\text{S}_{52}\text{Se}_8$ , облученных нейtronами (3)

Исследование характера повреждений поверхности образцов показало, что при дозах облучения электронами до  $10^{10}$  рад и облучении потоками нейтронов до  $10^{16}$  нейtron/ $\text{см}^2$  поверхностных повреждений волокон не наблюдалось.

Увеличение дозы и потока облучения в 10 раз приводило к появлению повреждений эрозионного характера размерами порядка 1 мкм и плотностью 0,3 мкм $^{-2}$ .

Дальнейшее увеличение дозы электронов до  $5 \cdot 10^{11}$  рад способствует возрастанию поверхностной плотности дефектов. Поток нейтронов  $10^{18}$  нейtron/ $\text{см}^2$  вызывал еще более сильное повреждение материала — разрыхление поверхности. Наряду с многочисленными эрозионными кратерами, появились «вырванные» с поверхности фрагменты материала образца.

Таким образом, проведенные исследования показали высокую радиационную стойкость указанных выше образцов ХСП-волокон. Наведенные оптические потери пренебрежимо малы при облучении электронами дозой

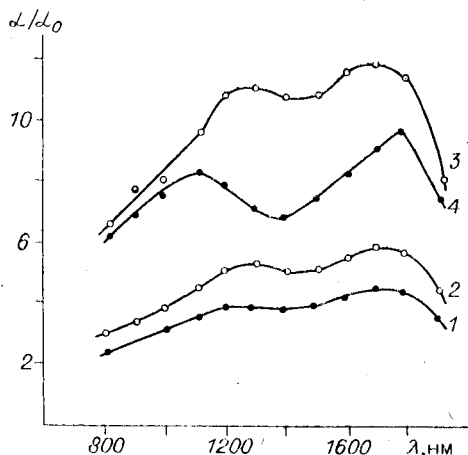


Рис. 3. Наведенные потери в оптических волокнах:  
 $\text{As}_{40}\text{S}_{52}\text{Se}_8$ : 1 —  $10^{15}$ , 2 —  $10^{16}$ , 3 —  $10^{17}$  нейtron/ $\text{см}^2$ ;  $\text{As}_2\text{S}_3$ : 4 —  $10^{18}$  нейtron/ $\text{см}^2$

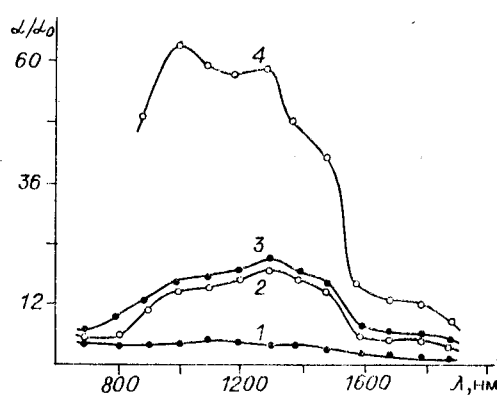


Рис. 4. Наведенные потери в оптических волокнах из  $\text{As}_2\text{S}_3$ , облученных электронами:  
1 —  $10^8$ , 2 —  $10^{10}$ , 3 —  $10^{11}$ , 4 —  $5 \cdot 10^{11}$  рад

до  $10^7$  рад и потоком нейтронов до  $10^{16}$  нейtron/cm<sup>2</sup> и возрастали во всём исследуемом спектральном интервале при облучении электронами дозой  $10^{11}$  рад и потоком нейтронов  $10^{17}$  нейtron/cm<sup>2</sup>. Эти значения являются, видимо, предельными, при которых работа устройств, использующих ХСП-волокна данного типа, возможна.

После облучения световодов электронами дозой  $5 \cdot 10^{11}$  рад и потоком нейтронов  $10^{18}$  нейtron/cm<sup>2</sup> был зафиксирован резкий рост наведенных потерь, обусловленный значительными, вплоть до разрушения поверхности, радиационными повреждениями.

#### ЛИТЕРАТУРА

1. Дианов Е. М., Петров М. Ю., Плотниченко В. Г., Сысоев В. К. Оценка минимальных оптических потерь в халькогенидных стеклах // Квантовая электроника.— 1982.— Т. 9, № 4.
2. Дианов Е. М. Волоконные световоды среднего ИК-диапазона // Изв. вузов. Радиоэлектроника.— 1983.— Т. 26, № 5.
3. Андриеш А. М., Быковский Ю. А., Бородакий Ю. В. и др. Стабильность ОВ на основе ХСП в условиях облучения большими дозами нейтронов // Письма в ЖТФ.— 1984.— Т. 10, вып. 9.
4. Андриеш А. М., Кулаков Е. В., Куляк И. П. и др. Оптические потери в волокнах из As—S в области 0,8—1,6 мкм // Квантовая электроника.— 1985.— Т. 12, № 9.
5. Kanamori T., Terayama Y., Takahachi S., Miyashita T. Transmission loss characteristics of As<sub>40</sub>S<sub>60</sub> and As<sub>38</sub>Ge<sub>5</sub>Se<sub>57</sub> glass clad fibers // J. Non-Cryst. Sol.— 1985.— V. 65.— P. 231.

Поступила в редакцию 27 ноября 1987 г.

УДК 537.311.1

В. А. ГУСЕВ, С. И. ДЕМЕНКО, С. А. ПЕТРОВ

(Красноярск — Новосибирск)

#### ФОТОПРОВОДИМОСТЬ МОНОКРИСТАЛЛОВ $\text{Bi}_4\text{Ge}_3\text{O}_{12}$

Ортогерманат висмута (германоэвлитин  $\text{Bi}_4\text{Ge}_3\text{O}_{12}$ (BGO)) используется в качестве сцинтиллятора жестких  $\gamma$ -излучений. В настоящее время физические свойства BGO исследованы недостаточно, в частности, не изучена фоточувствительность материала. Известно, что наличие фотопроводимости (ФП) у люминесцирующих соединений является важным фактором, который необходимо учитывать при определении природы свечения. Вопрос о механизме возбуждения и излучения в сцинтилляторах BGO является открытым. В данной работе исследована фоточувствительность германоэвлитина вблизи края фундаментального поглощения и высказано предположение, что она связана с переносом носителей по зоне проводимости.

Исследуемые материалы выращивались методом Чохральского, образцы кристаллов BGO вырезались из буль размером  $15 \times 15 \times 1$  мм, поверхность полированась. Измерение ФП проводилось как с водяными, так и с прозрачными электродами  $\text{SnO}_2 + \text{In}_2\text{O}_3$ . Электроды наносились методом вакуумного ВЧ-распыления окислов. Для исключения токов утечки по поверхности образца использовались охранные кольца, выполненные также из  $\text{SnO}_2 + \text{In}_2\text{O}_3$ . В качестве источника света применялась лампа ДКСП-500, из спектра излучения которой монохроматором МДР-2 и набором стеклянных светофильтров выделялся необходимый спектр излучения. Источником напряжения служил выпрямитель Б5-24, фототок регистрировался электрометром ВК2-16, сигнал с которого записывался на самописец. Полученные спектры ФП нормировались относительно спектрального распределения мощности падающего на образец излучения, измеряемого радиационным термоэлементом РТН-30С.